

Определим условия, при которых специфический предел чувствительности ΔW_p может быть ниже термодинамического предела (2). Из (10) и (11) найдем, что $\Delta W_p < \Delta W_0$ при

$$T_B G_{\text{эф}}^2 / \beta^2 G (T_B - T_0) < G_0 T_0^2. \quad (14)$$

Неравенство (14) может быть выполнено в следующих случаях:

1. При $G_{\text{эф}} \ll G_0$, т. е. при $\left| \beta (T_B - T_0) \frac{R_0 - R}{R_0 + R} \right| \approx 1$. Однако снижение специфического предела в этом случае достигается в режиме, близком к самосгоранию болометра, и сопровождается увеличением времени тепловой релаксации $\tau_T = C/G_{\text{эф}}$.

2. При $G_{\text{эф}} \approx G > G_0$, но $\beta T_0 \gg 1$.

Если $|\beta (T_B - T_0) (R_0 - R) / (R_0 + R)| \ll 1$, то при $T_B = (4/3) T_0$ найдем, что $\Delta W_p < \Delta W_0$ будет при $|\beta T_0| > 3$. У полупроводниковых болометров при низких температурах [9] $\beta \approx 4/T$. Следовательно, для них согласно (12) $\Delta W_p \geq \Delta W_0$.

В случае сверхпроводящих болометров сравнение их специфической чувствительности с ΔW_0 не имеет смысла, так как их рабочая температура задана температурой перехода в сверхпроводящее состояние. Предел чувствительности этих болометров будет близок к соответствующему пределу ΔW_T , т. е. не будет зависеть от электрических флуктуаций, если $\beta T_B \gg 1$. У современных сверхпроводящих болометров величина β достигает нескольких десятков обратных градусов. Достигнутая чувствительность, однако, в несколько раз превышает ΔW_T [10] из-за избыточных шумов.

СПИСОК ЛИТЕРАТУРЫ

- [1] Low F. J., Hoffman A. R. The detectivity of cryogenic bolometers.—Appl. Opt., 1963, 2, p. 649—650. [2] Low F. J. Low-temperature germanium bolometer.—J. Opt. Soc. Am., 1961, 51, p. 1300—1304. [3] Lewis W. B. Fluctuations in streams of thermal radiation.—Proc. Phys. Soc., 1947, 59, p. 34. [4] Jones R. W. The detection of thermal radiation.—Proc. Roy. Soc., 1959, A 249, p. 10. [5] Брагинский В. Б., Манукин А. Б. Измерение малых сил в физическом эксперименте.—М.: Наука, 1974, с. 16—29. [6] Ландау Л. Д., Лифшиц Е. М. Статистическая физика.—М.: Физматгиз, 1976, с. 221—224. [7] Брагинский В. Б., Воронцов Ю. И., Халили Ф. Я. Квантовые особенности пондеромоторного измерителя электромагнитной энергии.—ЖЭТФ, 1977, 72, с. 10. [8] Тепловые приемники излучения. Материалы конференции.—Л., 1978, 40 с. [9] Инфракрасные методы в космических исследованиях. Под ред. В. И. Мороза.—М.: Энергия, 1977, 384 с. [10] Clarke J., Richards P. L., Yeh N. H. A composite superconducting transition edge bolometer.—Appl. Phys. Lett., 1977, 30, p. 664—666.

Поступила в редакцию
31.08.79

ВЕСТН. МОСК. УН-ТА. СЕР. 3. ФИЗИКА. АСТРОНОМИЯ, 1981, Т. 22, № 5

УДК 533.951

СИНХРОНИЗАЦИЯ ЧАСТОТЫ СТРАТ ПУТЕМ МОДУЛЯЦИИ ТОКА РАЗРЯДА

П. С. Ланда, Н. А. Сухотскова

(кафедра общей физики для мехмата)

Синхронизация частоты страт впервые наблюдалась А. А. Зайцевым [1, 2] при включении в цепь разряда источника переменного тока. Впоследствии это явление использовалось во многих работах для получения дисперсионных характеристик страт в области самовозбужде-

ния [3]. Однако теория этого явления до сих пор отсутствует. По-видимому, связано это с целым рядом трудностей, возникающих при решении существенно нелинейных задач в распределенных системах (к каковым относится и задача о синхронизации). Изложенная ниже теория позволяет продемонстрировать эти трудности и указывает возможные пути их преодоления.

Обычно задачи о синхронизации в распределенных системах решаются в рамках сосредоточенной модели [4]. Во многих случаях (для молекулярных генераторов, лазеров) такая модель дает удовлетворительные результаты. Однако задачи, связанные с возбуждением страт, не могут быть решены на основе простых сосредоточенных моделей. Причина этого заключается в существенной анизотропии системы, имеющей место вследствие наложения внешнего электрического поля.

В настоящей работе задача о синхронизации частоты страт решается на основе укороченных уравнений для амплитуд и фаз встречных волн, аналогичных полученным в работе [5].

В качестве исходных используем уравнения (4), (5) из работы [5] для отклонений концентрации и температуры электронов:

$$\frac{\partial N}{\partial \tau} - \eta_U \frac{\omega}{\omega_0} U = -\eta_U \frac{\omega - \omega_0}{\omega_0} U + \frac{\partial^2 N}{\partial \xi^2} + \eta_N N + f_1, \quad (1.1)$$

$$\frac{\partial N}{\partial \xi} + \gamma \frac{\partial^2 U}{\partial \xi^2} = \alpha \frac{\partial U}{\partial \xi} + 2(N - \tilde{j}) + h_U U + f_2. \quad (1.2)$$

Здесь $N = (n - n_0)/n_0$, $U = (T - T_0)/T_0$ — безразмерные отклонения концентрации и температуры электронов от стационарных значений; $\tilde{j} = (j - j_0)/j_0$ — безразмерная переменная составляющая тока разряда; $\xi = (E_0/T_0)x$ — безразмерная координата (положительное направление оси x выбрано от катода к аноду); $\tau = b_i(E_0^2/T_0)t$ — безразмерное время; b_i — подвижность ионов в плазме газового разряда; E_0 — стационарное значение электрического поля; η_U и η_N — безразмерные производные по температуре и концентрации от функции, характеризующей частоту ионизации; h_U — безразмерная производная по температуре от функции, описывающей потери энергии электронов в единицу времени при соударениях; f_1 , f_2 — нелинейные функции N , U и их производных по ξ ; γ и α — кинетические коэффициенты; ω_0 — одна из собственных частот страт; ω — частота внешнего воздействия (частота модуляции тока разряда).

Вблизи порога возбуждения страт можно считать, что отклонения концентрации электронов от равновесной малы, $N \ll \varepsilon$ (где $\varepsilon \equiv \eta_U^{-1/4} \ll 1$), поэтому в разложении для f_1 и f_2 можно ограничиться кубическими членами [5]. Учтем также, что квадратичная нелинейность не дает вклада в первое приближение по малому параметру ε . Тогда функции f_1 , f_2 запишутся в виде:

$$\begin{aligned} f_1 &= \rho_1 N^3 + \rho_2 N^2 U + \rho_3 N U^2 + \rho_4 U^3; \\ f_2 &= \alpha(N - \tilde{j})N \frac{\partial U}{\partial \xi} + \gamma N \frac{\partial U}{\partial \xi} \frac{\partial N}{\partial \xi} + \\ &+ N(2\tilde{j} - 3N) \frac{\partial N}{\partial \xi} + 2N(2N - \tilde{j})(N - \tilde{j}) + \sigma_1 N^3 + \sigma_2 N^2 U + \sigma_3 N U^2 + \sigma_4 U^3. \end{aligned} \quad (2)$$

Здесь ρ_1 , ρ_2 , ρ_3 , ρ_4 , σ_1 , σ_2 , σ_3 , σ_4 — коэффициенты разложения функций f_1 , f_2 в ряд по степеням N и U .

Мы ограничимся случаем, когда сопротивление источника питания достаточно велико, так что ток можно считать заданным. Положим

$$\bar{j} = \bar{C}e^{i\omega\tau} + \bar{C}^*e^{-i\omega\tau},$$

где \bar{C} и ω — соответственно комплексная амплитуда и частота модуляции тока. Начало отсчета времени можно выбрать так, чтобы $\bar{C} = \bar{C}^* = C$. Граничные условия зададим так же, как и в [5]:

$$\begin{aligned} N(0) = N(l) &= 0, \\ U(0) = U(l) &= 0, \end{aligned} \quad (3)$$

где $l = (E_0/T_0)L$ — безразмерная длина трубки. Эти условия соответствуют заданию постоянной концентрации и температуры электронов на концах разрядной трубки.

Отличие уравнений (1) от соответствующих уравнений в [5] заключается в том, что в обе части уравнения (1.1) добавлен малый член

$$-\eta_U((\omega - \omega_0)/\omega_0)U,$$

который характеризует расстройку между частотой внешнего воздействия и одной из собственных частот страт.

При введении этой поправки независимо от частоты ω , на которой мы ищем решение порождающей системы (1), решением дисперсионного уравнения является собственная частота страт:

$$\omega_0 = \eta_U/(\gamma\kappa_0),$$

где κ_0 — собственное волновое число страт. Значение κ_0 , в свою очередь, задается граничными условиями.

Отметим, что при $\omega = \omega_0$ уравнения (1) переходят в (4), (5) из [5].

Решение характеристического уравнения в случае, когда источник питания является источником тока, имеет вид [6]:

$$\kappa_0 l = \kappa_1 l + 2\pi m, \quad (4)$$

где $\kappa_1 = h_U \omega_0 / \eta_U$ — волновое число встречной волны, распространяющейся от анода к катоду.

Решение уравнений (1) с правой частью в виде (2) ищем на частоте вынуждающей силы (случай синхронизации) и с волновыми числами $\kappa_1 = 0$ и $\kappa_2 = \kappa_0$, полученными из решения дисперсионного уравнения:

$$\begin{aligned} N &= A(\xi, \tau) \exp[i(\omega\tau + \kappa_0\xi) + i\varphi_1(\xi, \tau)] + \\ &+ B(\xi, \tau) \exp[i\omega\tau + i\varphi_2(\xi, \tau)] + \text{к. с.} + \dots \\ U &= (i\omega_0/\eta_U) \{A(\xi, \tau) \exp[i(\omega\tau + \kappa_0\xi) + i\varphi_1(\xi, \tau)] + \\ &+ B(\xi, \tau) \exp[i\omega\tau + i\varphi_2(\xi, \tau)]\} + \text{к. с.} + \dots \end{aligned}$$

Применяя асимптотический метод, аналогичный методу Крылова — Боголюбова для сосредоточенных систем, получаем укороченные уравнения для амплитуд A , B и фаз φ_1 , φ_2 в первом приближении по ε :

$$\begin{aligned} \frac{\partial A}{\partial \tau} + \frac{\omega}{\kappa_0} \frac{\partial A}{\partial \xi} &= \frac{\omega}{\kappa_0} \psi A + \left\{ A^2 \left[\frac{\omega}{\kappa_0} (\chi_1 - 6(1+a)) \right] + \right. \\ &+ 2B^2 \left[\frac{\omega}{\kappa_0} (\chi_1 - 2(5+a)) \right] - 4 \frac{\omega}{\kappa_0} C^2 + 4 \frac{\omega}{\kappa_0} (5+a) BC \cos \varphi_2 \Big\} A; \quad (5.1) \\ \frac{\partial B}{\partial \xi} &= 2B - 2C \cos \varphi_2 + (12 + \zeta_1) B^3 + [8(2+a) + 2\zeta_1] A^2 B - 18B^2 C \cos \varphi_2 + \end{aligned}$$

$$+ 4BC^2 - 4(2+a)A^2C \cos \varphi_2 + 2BC^2 \cos 2\varphi_2; \quad (5.2)$$

$$\frac{\partial \varphi_1}{\partial \tau} + \frac{\omega}{\kappa_0} \frac{\partial \varphi_1}{\partial \xi} = -\delta\omega + A^2\omega(\chi_2 + 4) + 2B^2\omega(\chi_2 + 3) - 4BC\omega \cos \varphi_2; \quad (5.3)$$

$$\begin{aligned} \frac{\partial \varphi_2}{\partial \xi} = & \kappa_1 + (2C/B) \sin \varphi_2 + 6BC \sin \varphi_2 + \\ & + 4(2+a) \frac{A^2}{B} C \sin \varphi_2 - 2C^2 \sin 2\varphi_2 + \kappa_0 \xi_2 (2A^2 + B^2). \end{aligned} \quad (5.4)$$

Здесь использовались следующие обозначения:

$$\begin{aligned} \xi_1 &= 3\sigma_1 + (\omega_0^2/\eta v^2) \sigma_3; \\ \xi_2 &= [\omega_0/(\eta v \kappa_0)] [\sigma_2 + 3(\omega_0^2/\eta v^2) \sigma_4]; \\ \chi_1 &= (\kappa_0/\omega) [3\rho_1 + (\omega_0^2/\eta v^2) \rho_3] - \xi_1; \\ \chi_2 &= (\omega_0/\omega) (1/\eta v) [\rho_2 + 3(\omega_0^2/\eta v^2) \rho_4] - \xi_2; \\ a &= 1 - \alpha/2\gamma; \quad \delta\omega = \omega - \omega_0 + (\omega/\kappa_0) \kappa_1; \\ \psi &= (\kappa_0/\omega) [(\eta_N - \kappa_0^2) - 2a\omega/\kappa_0]. \end{aligned}$$

Аналогично [5] уравнения (5) будем решать методом последовательных приближений, который справедлив, если $N \ll \varepsilon$, т. е. $A, B \sim \varepsilon$. Амплитуду внешнего воздействия полагаем $C \ll \varepsilon^2$, а также $\delta\omega/\omega_0 \ll \varepsilon$.

В линейном приближении решения уравнений (5.1), (5.2), (5.4) запишутся в виде

$$A_L = A_0 \exp(\psi \xi); \quad B_L = B_0 \exp(2\xi); \quad \varphi_{2L} = \kappa_1 \xi + \varphi_{20}.$$

Далее ищем малые поправки к линейным решениям:

$$A = A_L + x; \quad B = B_L + y,$$

где $x, y \ll \varepsilon^2$.

Приведем выражения для x и y :

$$\begin{aligned} x &= \frac{\chi_1 - 6(1+a)}{2\psi} A_0^3 e^{3\psi \xi} + \frac{\chi_1 - 2(5+a)}{2} e^{(\psi+4)\xi} A_0 B_0^2, \\ y &= \left(3 + \frac{\xi_1}{4}\right) B_0^3 e^{6\xi} + \frac{4(2+a) + \xi_1}{\psi} A_0^2 B_0 e^{2(\psi+1)\xi} + \\ &+ \frac{2C}{\chi_1^2 + 4} (2 \cos(\kappa_1 \xi + \varphi_{20}) - \kappa_1 \sin(\kappa_1 \xi + \varphi_{20})). \end{aligned}$$

Амплитуды A_0 и B_0 определим из граничных условий. После подстановки N и U в выражение (3) граничные условия принимают вид:

$$\begin{aligned} A e^{i\varphi_1} \big|_{\xi=0} + B e^{i\varphi_2} \big|_{\xi=0} &= 0; \\ A e^{i\varphi_1} \big|_{\xi=l} e^{i\kappa_0 l} + B e^{i\varphi_2} \big|_{\xi=l} &= 0. \end{aligned}$$

Учитывая соотношение (4), имеем:

$$\varphi_1(0) = \varphi_2(0), \quad (6.1)$$

$$\varphi_2(l) = \varphi_1(l) + \kappa_1 l, \quad (6.2)$$

$$A_0 + B_0 + x(0) + y(0) = 0, \quad (6.3)$$

$$A_0 \exp(\psi l) + B_0 \exp(2l) + x(l) + y(l) = 0. \quad (6.4)$$

Известно, что в случае, когда источник питания является источником тока, значение ψ на границе области самовозбуждения страт равно $\psi_0=2$; так как задача решается вблизи порога самовозбуждения, то

$$(\psi - \psi_0)l \sim \varepsilon \ll 1.$$

Исключая из уравнений (6.3), (6.4) B_0 , мы можем записать уравнение, позволяющее определить A_0 :

$$\begin{aligned} A_0(\psi - 2)l = & A_0^3 \exp(4l) \cdot 3[\xi_1 - \chi_1 + 6(3+a)]/4 + \\ & + (2C/(\kappa_1^2 + 4)) [2(\cos \varphi_{20} - \exp(-2l) \cdot \cos(\kappa_1 l + \varphi_{20})) - \\ & - \kappa_1(\sin \varphi_{20} - \exp(-2l) \cdot \sin(\kappa_1 l + \varphi_{20}))]. \end{aligned} \quad (7)$$

Решение уравнения (7) представляем в виде суммы A_0 , не зависящего от C , и малой добавки A_C , обусловленной наличием членов, содержащих амплитуду внешнего воздействия C ($C \ll \varepsilon^2$). Тогда

$$\begin{aligned} A_0^2 = & \frac{4(\psi - 2)le^{-4l}}{3[\xi_1 - \chi_1 + 6(3+a)]}; \\ A_C = & \frac{C}{(\psi - 2)l(\kappa_1^2 + 4)} [2(e^{-2l} \cos(\kappa_1 l + \varphi_{20}) - \cos \varphi_{20}) - \\ & - \kappa_1(e^{-2l} \sin(\kappa_1 l + \varphi_{20}) - \sin \varphi_{20})]; \\ B_0 = & -A_0; B_C = -A_C. \end{aligned}$$

(Далее везде через A_0 и B_0 обозначена та часть A_0 , B_0 , которая не зависит от C .)

Для нахождения ширины полосы синхронизации обратимся теперь к уравнениям фаз (5.3), (5.4). Учитывая, что в режиме синхронизации $\frac{\partial \varphi_1}{\partial \tau} = 0$, запишем уравнение для разности фаз $\varphi_1 - \varphi_2$ и проинтегрируем его от 0 до l . Тогда получим

$$\begin{aligned} (\kappa_0/\omega) \delta\omega \cdot l = & \int_0^l d\xi \{ \kappa_0(\chi_2 + 4 - 2\xi_2) A^2 + \\ & + \kappa_0 [2(\chi_2 + 3) - \xi_2] B^2 - 4BC \kappa_0 \cos \varphi_2 - \\ & - 2(C/B) \sin \varphi_2 - 6BC \sin \varphi_2 - 4(2+a)(A^2/B) C \sin \varphi_2 \}. \end{aligned} \quad (8)$$

Если теперь в правой части положить $C=0$, то интеграл от всех остальных членов будет равен $(\kappa_0/\omega) \delta\omega_{нл} \cdot l$, где $\delta\omega_{нл}$ — нелинейная поправка к собственной частоте системы. Так как в отсутствие внешнего воздействия генерация страт в системе происходит на частоте

$$\omega_0 + \delta\omega_{нл} = \frac{\omega_0}{\kappa_0} \kappa_1,$$

то и расстройку мы должны переопределить по отношению к этой истинной собственной частоте генерации волн. Введем параметр

$$\Delta = \omega - (\omega_0 + \delta\omega_{нл} - (\omega_0/\kappa_0) \kappa_1) = \delta\omega - \delta\omega_{нл}.$$

При дальнейших преобразованиях (8) учитывались известные оценки [5]:

$$\begin{aligned} \chi_1, \xi_1 \leq (1/\varepsilon); \chi_2, \xi_2 \leq 1; \kappa_0 \sim (1/\varepsilon); \\ \kappa_1 \sim 1; (\psi - 2)l \sim \varepsilon; a \leq 1; \exp(2l) \gg 1 (\gg (1/\varepsilon^2)). \end{aligned}$$

В результате получено следующее выражение, связывающее расстройку Δ с амплитудой внешнего воздействия C и фазой φ_{20} :

$$\frac{\Delta l}{\omega} = \frac{C}{A_0} \frac{2/\kappa_0}{\sqrt{\kappa_1^2 + 4}} \sqrt{1 + \left[\frac{3(\chi_2 - \zeta_2) + 10}{3(\zeta_1 - \chi_1 + 6(3+a))} \kappa_0 \right]^2} \cdot \sin(\varphi_{20} - \beta),$$

где

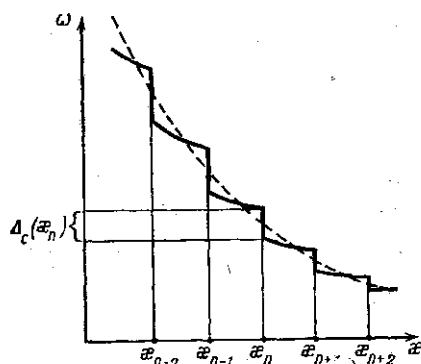
$$\beta = \arctg \frac{2[3(\chi_2 - \zeta_2) + 10] - 3(\kappa_1/\kappa_0)[\zeta_1 - \chi_1 + 6(3+a)]}{\kappa_1[3(\chi_2 - \zeta_2) + 10] + (6/\kappa_0)[\zeta_1 - \chi_1 + 6(3+a)]}.$$

Ширину полосы синхронизации получаем из тригонометрического условия:

$$|\sin(\varphi_{20} - \beta)| \leq 1;$$

$$\left| \frac{\Delta_c}{\omega_0} \right| \leq \frac{C}{A_0} \frac{2/(\kappa_0 l)}{\sqrt{\kappa_1^2 + 4}} \sqrt{1 + \left[\frac{3(\chi_2 - \zeta_2) + 10}{3(\zeta_1 - \chi_1 + 6(3+a))} \kappa_0 \right]^2}. \quad (9)$$

Отметим определенное сходство полученных результатов с результатами теории синхронизации сосредоточенных генераторов [7]. Во-первых, малое внешнее воздействие для обоих классов задачи практи-



Качественный вид дисперсионной характеристики страт в области самовозбуждения (сплошная линия). Пунктиром дана зависимость $\omega = \eta\nu/\chi\kappa$.

чески не влияет на амплитуду автоколебаний; воздействие же на фазу является сильным — имеет место синхронизация частоты. Во-вторых, из (9) видно, что, как и для сосредоточенных систем, ширина полосы синхронизации с точностью до коэффициентов пропорциональна отношению амплитуды внешнего воздействия к амплитуде собственных автоколебаний.

В работе [2] приводятся экспериментальные данные по измерению ширины полосы синхронизации страт, но так как в (9) входят коэффициенты, не измеряемые непосредственно в эксперименте (χ_1 , χ_2 , ζ_1 , ζ_2), то проведение численного сравнения теории с экспериментом невозможно.

Вышеизложенная теория позволяет уточнить вид дисперсионных характеристик страт в области самовозбуждения. В эксперименте дисперсионные соотношения измерялись в дискретных точках $\omega = \omega_{0n}$, и зависимость ω от κ хорошо аппроксимировалась гиперболой $\omega \sim 1/\kappa$ (пунктирная линия на рисунке). Однако из теории следует, что в точках $\kappa = \kappa_n$ мы должны иметь вертикальные отрезки прямых, высота которых равна ширине синхронизации Δ_c (которая, как видно из (9), убывает с ростом κ_n). Качественно теоретическая зависимость $\omega(\kappa)$ показана на рисунке сплошной линией.

СПИСОК ЛИТЕРАТУРЫ

- [1] Зайцев А. А. Колебания в разряде как источник бегущих волн.— ДАН СССР, 1951, 79, № 5, с. 779—781. [2] Зайцев А. А. Автоколебательные режимы и бегущие слои в разряде.— ДАН СССР, 1952, 84, № 1, с. 41—44. [3] Зайцев А. А., Махров В. Ф., Савченко И. А. О правилах подобия для подвижных страт.— Радиотехника и электроника, 1970, 15, № 12, с. 2650—2654. [4] Манешин П. К., Хохлов Р. В. Взаимная синхронизация двух молекулярных генераторов при малой связи.— Научн. докл. высшей школы. Радиотехника и электроника, 1958, № 3, с. 74—83. [5] Ланда П. С., Пономарев Ю. В., Садовский В. Н. Ионизационные волны (страты) в ограниченной низкотемпературной плазме.— Изв. вузов. Сер. Радиопизика, 1978, 21, № 11, с. 1691—1701. [6] Ланда П. С., Пономарев Ю. В. Возбуждение ионизационных волн в низкотемпературной плазме.— Радиотехника и электроника, 1976, 21, № 11, с. 2337—2343. [7] Теодорчик К. Ф. Автоколебательные системы.— М.: Гостехиздат, 1952, 104 с.

Поступила в редакцию
07.09.79

ВЕСТН. МОСК. УН-ТА. СЕР. 3. ФИЗИКА. АСТРОНОМИЯ. 1981, Т. 22, № 5

УДК 530.12

КАЛИБРОВОЧНЫЕ ПОЛЯ В СЛУЧАЕ ДИСКРЕТНЫХ СИММЕТРИЙ

Г. А. Сарданашвили

(кафедра теоретической физики)

Распространение калибровочной теории на дискретные симметрии представляет интерес в различных аспектах.

1. Многие фундаментальные характеристики полей и элементарных частиц могут описываться не группами Ли, как принято, а дискретными группами симметрий, в частности группами Кокстера отражений весовых диаграмм конечномерных представлений соответствующих групп Ли [1]. Например, группа Кокстера $A_2 = (a_1, a_2: (a_1 a_2)^3 = 1)$ полностью характеризует симметрии триплета $SU(3)$ -кварков.

2. В последние годы в теории поля значительное внимание уделяется так называемым топологическим характеристикам полей, которые остаются инвариантными при некоторого рода топологических преобразованиях. Существует мнение, что большинство физических характеристик полей и частиц должно иметь топологическую природу [2] и их теорию следует строить на языке топологически инвариантных структур и величин [3]. Калибровочная теория дискретных симметрий является примером такого рода теорий.

3. Калибровочная теория в случае дискретных групп симметрий обнаруживает также определенные аналогии с описанием дислокаций в кристаллах, а ее калибровочным полям оказываются присущи эффекты типа квантования потока напряженности этих полей и образования флаксонов. В этой связи возникает перспектива применения разнообразных комбинаций флаксонов калибровочных полей для моделирования различных характеристик элементарных частиц [4].

В формулировке калибровочной теории в формализме расслоений построение калибровочной теории данной группы симметрий G трактуется как задание связности на главном расслоении λ_G со структурной группой G над координатным многообразием X . Калибровочные поля группы Ли G представляются коэффициентами некоторой формы связности A на λ_G . В общем случае связность на λ_G определяется заданием группы голономии, т. е. гомоморфизма группы петель ΩX базы X в G .

В случае дискретной группы G главное расслоение λ_G — это регулярное накрытие, необходимым и достаточным условием существования